

京都大学防災研究所 正会員 土屋 義人  
 愛媛大学工学部 " 山口 正隆  
 新日本製鐵 K.K. 小矢田 光

1. 緒言 波浪の数値予知法に関しては、波浪のエネルギー平衡方程式による方法が研究され、すでに実用面に応用されているところとなっていることは、周知のとおりである。しかしながら、この方法によつて、エネルギーの吸収や消散の扱扱とはじめ、波浪の方向スペクトルの導入など、なお解決すべき点が多いと認められる。

本研究では、この波浪の方向スペクトルの定式化に基づいて、数 図-1 琵琶湖での観測説明用数値予知法に若干の改良を試み、琵琶湖に適用した結果について述べる。

2. 波浪の方向スペクトルの表示

波浪の数値予知法を目的とする限りは、従来提案されてきた方向スペクトルを、主として外洋での波浪観測の結果に基づいていので、風域の狭い範囲において観測結果を適用するよう思われる。したがって、こゝでは必ずしも一様風域における波浪の方向スペクトル

の定式化を述べ、琵琶湖での観測結果から、その表示を提示している。図-1に示す琵琶湖東岸に設置された8台の定常式浪高計からの観測結果より、方向スペクトルを提示する。この場合の方向分布関数として円形分布を仮定した。その形状係数  $a$  と波高との関係を図-2に示す。これは観測結果のうち、必ずしも一様風域での波浪と異なるのである。このため、一様風域があるとき、係数  $a$  は従来の観測値の約10倍に達すると思われる。この集中度が高いこととなる。したがって、図中の曲線は、式(2)で表すこと。

$$a = 4.25 (U/c)^3 \exp\{-2.46 (U/c)^2\} \quad (1)$$

なお、波浪の周波数スペクトルは、従来の JONSWAP 形  $\alpha$  スペクトルを用いて表すこととする。

$$E(f) = \alpha g^2 (2\pi)^{-4} f^{-5} \exp\left\{-\frac{1}{2} (f/f_m)^4\right\} \cdot \gamma \exp\left\{-\frac{(f-f_m)^2}{2\sigma^2 f_m^2}\right\} \quad (2)$$

$$\sigma = \begin{cases} \sigma_a & f \leq f_m \\ \sigma_b & f > f_m \end{cases}$$

$$f_m = 0.42 \bar{F} - 0.070, \quad \sigma_a = 0.037 \bar{F} - 0.091$$

$$r = 1.7, \quad \sigma_a = 0.07, \quad \sigma_b = 0.06 \quad (3)$$

3. 波浪の数値予知法と適用

Hassekmann による、深海域におよぶ波浪の数値予知の基礎方程式は、エネルギー平衡方程式として、次式が与えられる。

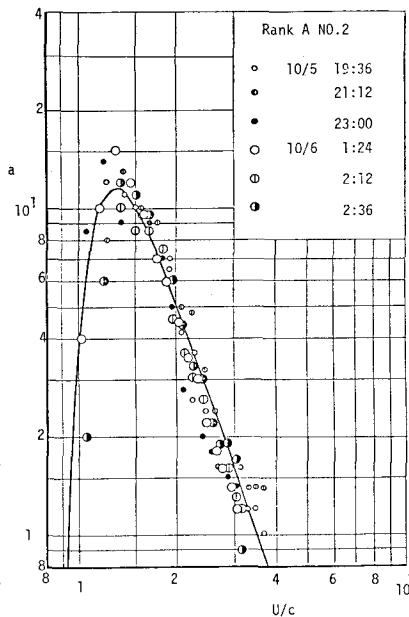


図-2 方向分布関数の母数  $a$  の特性

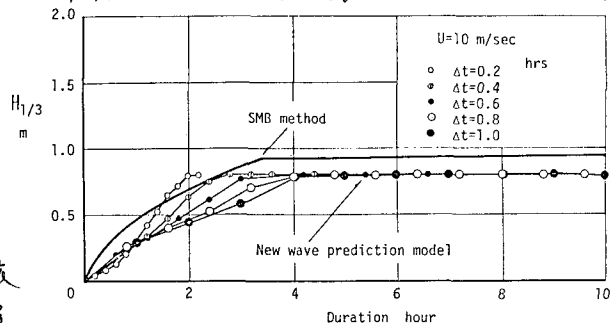


図-3 一様風の場合の計算結果の一例

$\frac{\partial}{\partial t} E(\rho, \alpha, \vec{x}, t) + \nabla \cdot (E(\rho, \alpha, \vec{x}, t) \cdot \vec{C}_g) = G(\rho, \alpha, \vec{x}, t)$   
 に対し、 $E(\rho, \alpha, \vec{x}, t)$ ; 方向スペクトル  $\vec{W}$ ; (4)  
 $\vec{x}$ ; 位置ベクトル、 $\alpha$ ; 方位角、 $\vec{C}_g$ ; 群速度ベ  
 クトルであり、 $G$  はこの場合の source function  
 である。

さて、方向スペクトルを一般化して、  
 $E(\rho, \alpha) = E(\rho) D(\alpha) \dots \dots \dots (5)$

とし、風から波へのエネルギーの移移  $G_1(\rho, \alpha, \vec{x}, t)$  は、  
 $G_1(\rho, \alpha, \vec{x}, t) = \alpha(\rho, \alpha, U) + \beta(\rho, \alpha, U) E(\rho, \alpha, \vec{x}, t)$   
 とし、この移移後のエネルギーの消散  $G_2(\rho, \alpha, \vec{x}, t)$  は

$G_2(\rho, \alpha, \vec{x}, t) = -(\alpha' + \beta E D) \left( \frac{E D}{E_0 D_0} \right)^2 \dots (6)$

と表わすこととし、ここで、 $\alpha'$  は Proudman の 圧力差  
 輸送スペクトルから計算される (pellellops の 終端項)  
 であり、 $\beta$  は  $(\rho, \alpha)$   
 は Miles の 計算項である。この式から、波の数は  
 未知数の基礎式として、次の式を得る。

$\frac{\partial (E D)}{\partial t} + \frac{1}{2} C_g \cos \alpha \frac{\partial E D}{\partial x} + C_g \sin \alpha \frac{\partial E D}{\partial y} = (\alpha' + \beta E D) \left\{ 1 - \left( \frac{E D}{E_0 D_0} \right)^2 \right\} \dots \dots \dots (8)$

ここで、 $C_g = g/4\pi f$ 。さて、この式を数値計算する際の初期条件は  $t=0$  において  $E D = 0$  であり、この境  
 界条件は  $E D = 0$  とする。以上の方程を数値計算し、波長の発達過程について述べる。まず、数値計算には後  
 述差分法を用いる。この改良が出来る。図-3 は一般風速  $10 \text{ m/sec}$  で  $F=23 \text{ Km}$  とした場合  
 の有義波長の発達を示し、図中には SMO 風速と波長を示している。図-4 は琵琶湖におよぶ波長の発達

過程を説明する。これは数値計算の結果を示した結果の一  
 例である。この結果から、有義波長の発達過程は、  
 計算値の方が若干小さく、かつより急激に、この段階  
 は完全に一致している。また、図-3 と図-4 とは、両者共  
 わけてよく一致している。この結果の一致は計算  
 の精度の若干の差によって、多少の誤差が生じ  
 ることは予想される。この結果は、この計算の信頼  
 性を示している。

さて、図-5 は有義波長スペクトルの発達過程を示した  
 結果を示している。この結果から、かなり良好な結果が  
 得られる。この結果から、一般風速が近い場合  
 の波長の発達過程は、この数値計算の結果によって推  
 算できることがわかる。また、エネルギー移移  
 の計算結果の検証を進める必要がある。

4. 結 語

以上、一般風速におよぶ波長の方向スペクトルを式(4)において、これを有義波長の数値計算式に  
 代入して述べた。この方法の注意の点として、この領域の初期と終端とを考慮して計算すること  
 である。今後さらに波長の研究を進めていく必要がある。

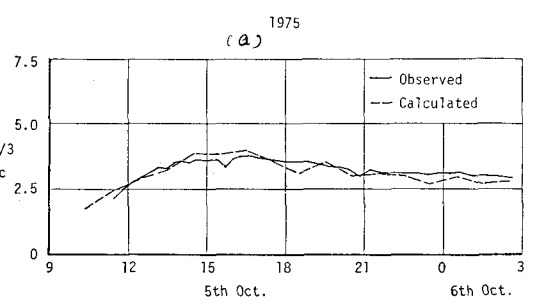
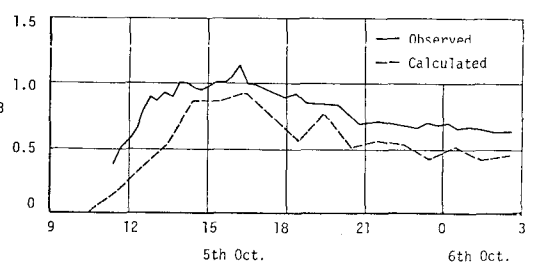


図-4 琵琶湖におよぶ波長の発達の数値例

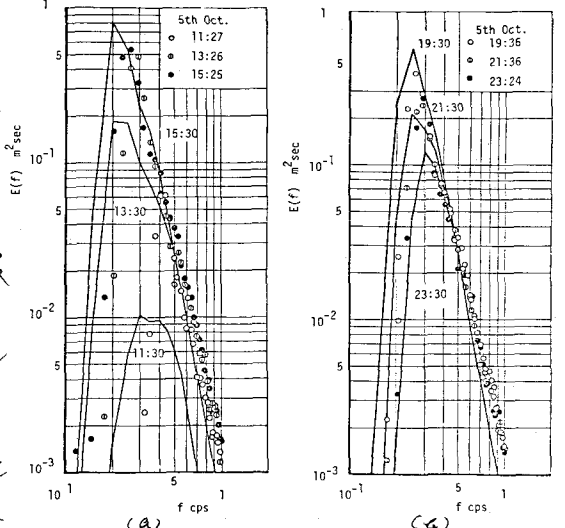


図-5 波長スペクトルの時間的変化